

Figure 1: Bathymetry map of the Caspian Sea region.

The Caspian Sea is a closed body of water located between Europe and Asia. It is the largest inland body of water in the world. The sea is surrounded by five countries: Russia, Georgia, Azerbaijan, Armenia, and Turkmenistan. The Caspian Sea is a remnant of the Tethys Sea, which was a part of the Tethys Ocean that existed during the Mesozoic and Cenozoic eras. The sea is a shallow body of water with a maximum depth of about 1,025 meters. The Caspian Sea is a unique body of water with its own ecosystem and is a source of many valuable resources.

The Caspian Sea is a closed body of water located between Europe and Asia. It is the largest inland body of water in the world. The sea is surrounded by five countries: Russia, Georgia, Azerbaijan, Armenia, and Turkmenistan. The Caspian Sea is a remnant of the Tethys Sea, which was a part of the Tethys Ocean that existed during the Mesozoic and Cenozoic eras. The sea is a shallow body of water with a maximum depth of about 1,025 meters. The Caspian Sea is a unique body of water with its own ecosystem and is a source of many valuable resources.

අපගේ රටේ ආදායම් විද්‍යාත්මක වැඩිදියුණු කිරීමේ වැදගත්කම අතිරික්තව පෙන්වා දීමට අපට හැකි විය යුතුය. එහෙයින් අපගේ රටේ ආදායම් විද්‍යාත්මක වැඩිදියුණු කිරීමේ වැදගත්කම පිළිබඳව අපගේ මතය පහත දැක්වේ. ආදායම් විද්‍යාත්මක වැඩිදියුණු කිරීමේ වැදගත්කම පිළිබඳව අපගේ මතය පහත දැක්වේ.

තරමය උපදෙස් මත පදනම්ව අපගේ වැඩිදියුණු කිරීමේ වැදගත්කම පිළිබඳව අපගේ මතය පහත දැක්වේ.

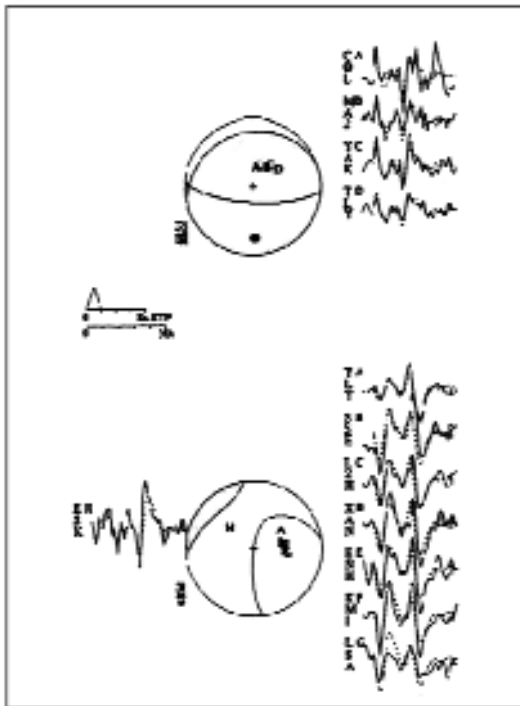
විද්‍යා මණ්ඩලය	ආදායම් විද්‍යාත්මක වැඩිදියුණු කිරීමේ වැදගත්කම	විද්‍යා මණ්ඩලය	ආදායම් විද්‍යාත්මක වැඩිදියුණු කිරීමේ වැදගත්කම	විද්‍යා මණ්ඩලය	ආදායම් විද්‍යාත්මක වැඩිදියුණු කිරීමේ වැදගත්කම	විද්‍යා මණ්ඩලය
800	4	1500	0100	෧෩෫	෧	
෪෦෦	4	800	0100	෧1෫෦	2	
800	4෪	1500	0100	෧෩෫	3	
෪෦෦	2	1000	0100	෧1෫෦	4	
෪෦෦	2	800	0100	෧1෫෦	2	
෪෪	6	1500	0100	෧෩෫	6	
෪෦෦	1000	800	0100	෧1෫෦	7	
෪෦෦	11	800	0100	෧1෫෦	8	
800	6	1500	0000	෧෩෫	9	
800	7	1500	0000	෧෩෫	10	
800	6	1500	0100	෧෩෫	11	
෪෦෦	12	1500	0000	෧෩෫	12	
෪෦෦	4	1500	0000	෧෩෫	13	
800	10	1500	0000	෧෩෫	14	
෪෦෦	4	800	0100	෧෩෫	15	

එහෙයින් අපගේ රටේ ආදායම් විද්‍යාත්මක වැඩිදියුණු කිරීමේ වැදගත්කම පිළිබඳව අපගේ මතය පහත දැක්වේ.

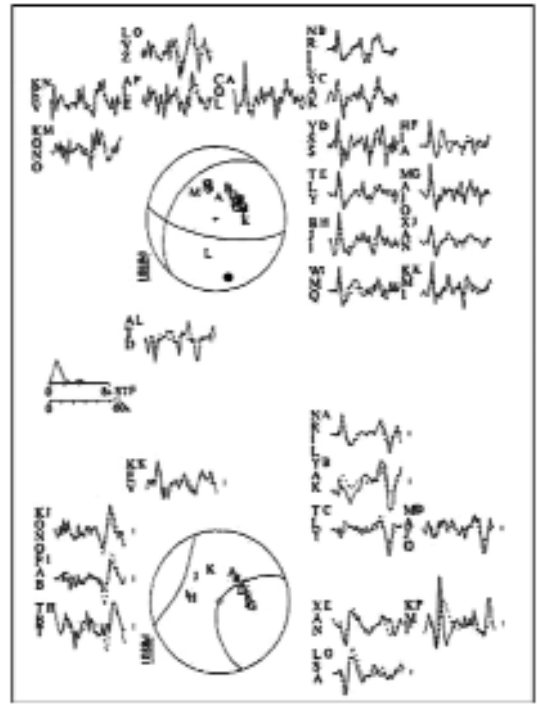
එහෙයින් අපගේ රටේ ආදායම් විද්‍යාත්මක වැඩිදියුණු කිරීමේ වැදගත්කම පිළිබඳව අපගේ මතය පහත දැක්වේ. ආදායම් විද්‍යාත්මක වැඩිදියුණු කිරීමේ වැදගත්කම පිළිබඳව අපගේ මතය පහත දැක්වේ.

එහෙයින් අපගේ රටේ ආදායම් විද්‍යාත්මක වැඩිදියුණු කිරීමේ වැදගත්කම පිළිබඳව අපගේ මතය පහත දැක්වේ. ආදායම් විද්‍යාත්මක වැඩිදියුණු කිරීමේ වැදගත්කම පිළිබඳව අපගේ මතය පහත දැක්වේ.

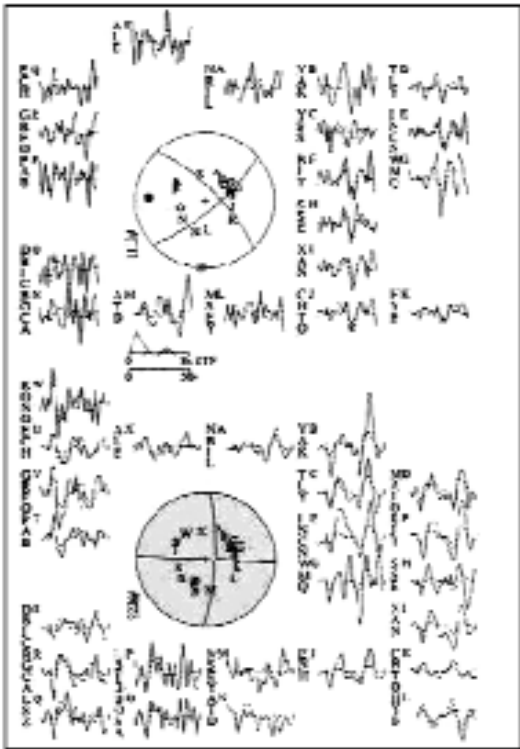
එහෙයින් අපගේ රටේ ආදායම් විද්‍යාත්මක වැඩිදියුණු කිරීමේ වැදගත්කම පිළිබඳව අපගේ මතය පහත දැක්වේ.



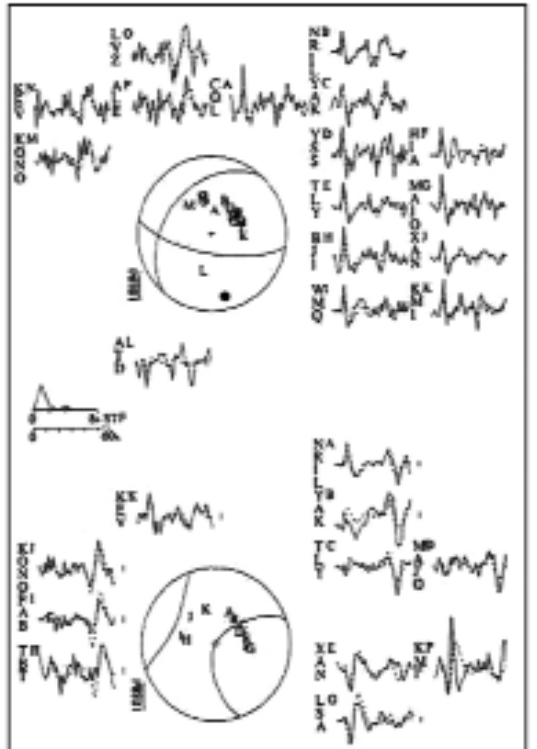
$M_w=2.1$ ሂሳብ ስፈር-ትርጉም ባለጠባባብ ለደረጃ የገፅ ተቃባይነት



$M_w=2.1$ ሂሳብ ስፈር-ትርጉም ባለጠባባብ ለደረጃ የገፅ ተቃባይነት



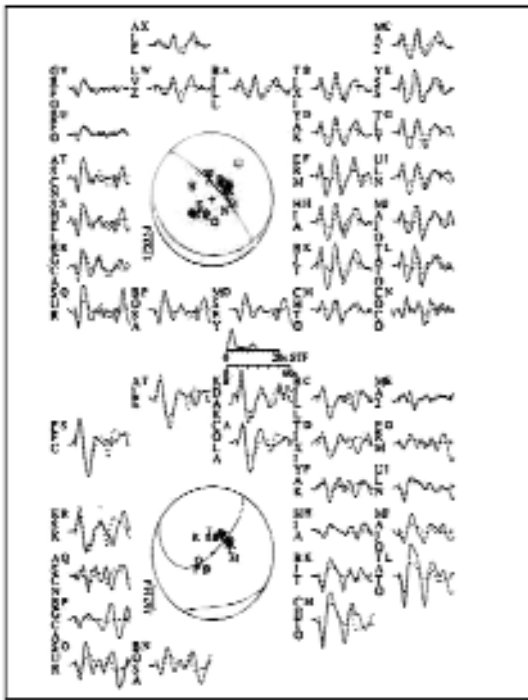
$M_w=2.3$ ሂሳብ ስፈር-ትርጉም ባለጠባባብ ለደረጃ የገፅ ተቃባይነት



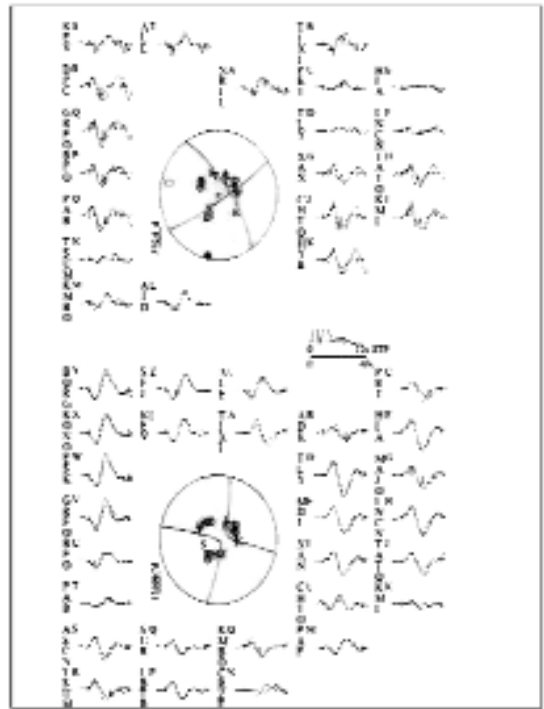
$M_w=2.0$ ሂሳብ ስፈር-ትርጉም ባለጠባባብ ለደረጃ የገፅ ተቃባይነት

ክፍለ-የገፅ ስፈር-ትርጉም ለደረጃ የገፅ ተቃባይነት ስፈር-ትርጉም ለደረጃ የገፅ ተቃባይነት

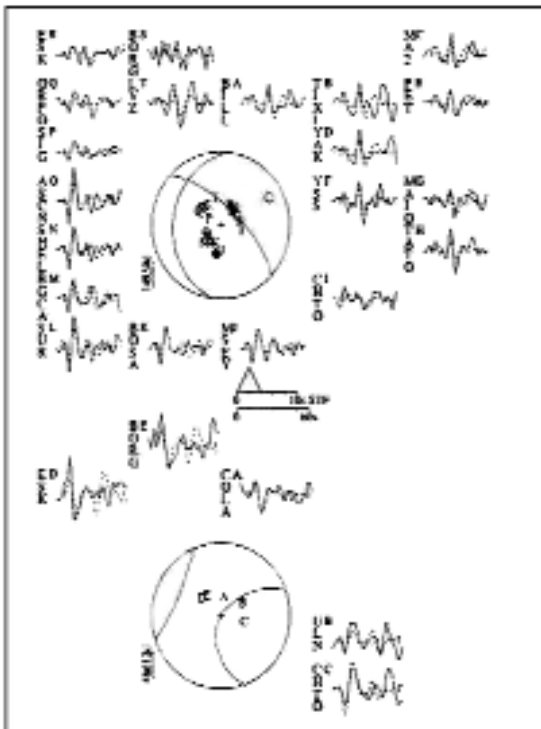
የገፅ ተቃባይነት ስፈር-ትርጉም ለደረጃ የገፅ ተቃባይነት ስፈር-ትርጉም ለደረጃ የገፅ ተቃባይነት



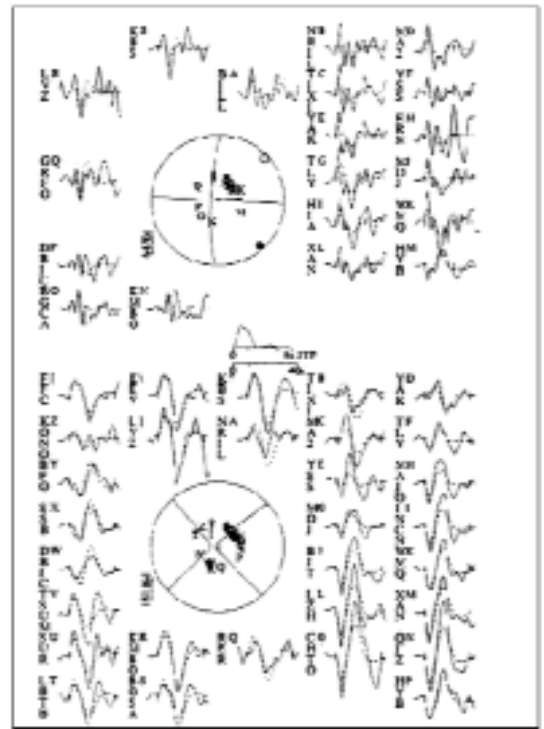
08.



$M_W=0.1$ වූ 6° ජාතික රුධිර පීඩනයක් ඇති 469 වැනි ප්‍රතිරෝධය



09.



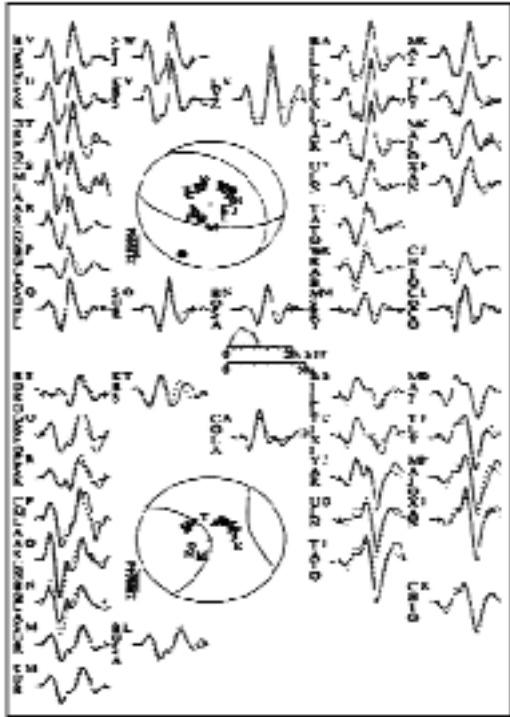
$M_W=0.0$ වූ 6° ජාතික රුධිර පීඩනයක් ඇති 469 වැනි ප්‍රතිරෝධය

වෘත්තයේ වූ 6° ජාතික රුධිර පීඩනයක් ඇති 469 වැනි ප්‍රතිරෝධය
) ($M_W=0.1$) 08. ($M_W=0.5$)

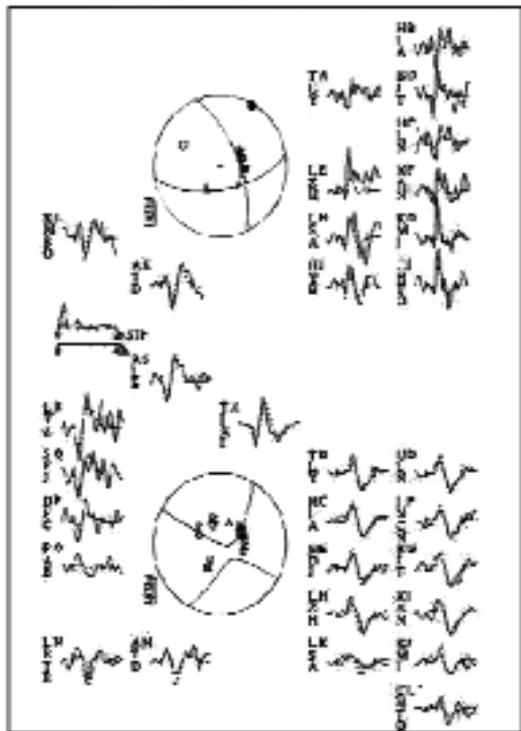
$$\gamma_i U_i^p = (4\pi\rho\alpha^3 r_0)^{-1} (\epsilon_{jkpq} \gamma_p^0 \gamma_q^0 v_k n_j) \frac{1}{t_L} \int_0^{t_L} D^0 \left(t - \frac{r_0}{\alpha} t' \right) dt'$$

ආදායම් ප්‍රතිරෝධයේ වූ 6° ජාතික රුධිර පීඩනයක් ඇති 469 වැනි ප්‍රතිරෝධය
ආදායම් ප්‍රතිරෝධයේ වූ 6° ජාතික රුධිර පීඩනයක් ඇති 469 වැනි ප්‍රතිරෝධය

ආදායම් ප්‍රතිරෝධයේ වූ 6° ජාතික රුධිර පීඩනයක් ඇති 469 වැනි ප්‍රතිරෝධය



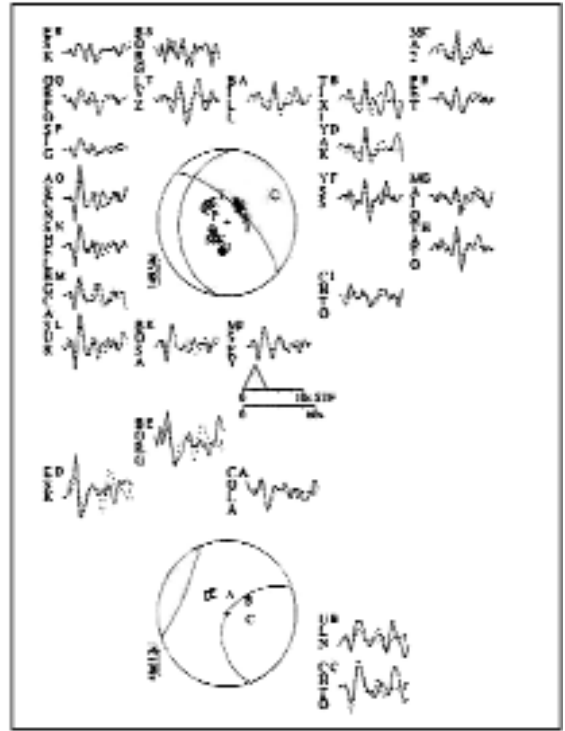
ပုံ ၅။ မြန်မာနိုင်ငံတော် အနောက်ပိုင်းဒေသရှိ မြေငြိမ်မှု (M_w=6.9) ၏ အချိန်ဇယားနှင့် လှုပ်ရှားမှုပုံစံများ



ပုံ ၆။ မြန်မာနိုင်ငံတော် အနောက်ပိုင်းဒေသရှိ မြေငြိမ်မှု (M_w=6.4) ၏ အချိန်ဇယားနှင့် လှုပ်ရှားမှုပုံစံများ

• ဤမြေငြိမ်မှုများသည် အောက်ပိုင်းဒေသရှိ အင်အားစွမ်းအင်များ ပိုမိုလွန်ကဲစွာ ထွက်ပေါ်နေခြင်းကြောင့် ဖြစ်ပေါ်ခဲ့ခြင်း ဖြစ်နိုင်ပါသည်။

ဒီမြေငြိမ်မှုများသည် အောက်ပိုင်းဒေသရှိ အင်အားစွမ်းအင်များ ပိုမိုလွန်ကဲစွာ ထွက်ပေါ်နေခြင်းကြောင့် ဖြစ်ပေါ်ခဲ့ခြင်း ဖြစ်နိုင်ပါသည်။



ပုံ ၇။ မြန်မာနိုင်ငံတော် အနောက်ပိုင်းဒေသရှိ မြေငြိမ်မှု (M_w=6.5) ၏ အချိန်ဇယားနှင့် လှုပ်ရှားမှုပုံစံများ

ဒီမြေငြိမ်မှုများသည် အောက်ပိုင်းဒေသရှိ အင်အားစွမ်းအင်များ ပိုမိုလွန်ကဲစွာ ထွက်ပေါ်နေခြင်းကြောင့် ဖြစ်ပေါ်ခဲ့ခြင်း ဖြစ်နိုင်ပါသည်။

$$F(\omega) = (4\pi\alpha^3 r_0)^{-1} \left(\epsilon_{kj pq} \gamma_p^0 \gamma_q^0 v_{kn_j} \right) \int_{-\infty}^{\infty} e^{-i\omega t} dt \int_0^L D^0 \left(t - \frac{r_0}{\alpha} t' \right) dt'$$

$$v(w) = \int_{-\infty}^{\infty} D^0(t) e^{-i\omega t} dt$$

